

## รายการอ้างอิง

1. พูลพร แสงบางปลา.“Ethanol พลังงานทดแทนในยานยนต์จริงหรือ?” ส.อ.ท. (มกราคม-กุมภาพันธ์ 2544) : 44.
2. Abhay Chudhari.“Fuel-ethanol a technology perspective.” [online]. Available from: [http://www.clcantechindia.com/ncwcic/fuel.html\[2000, May 28\]](http://www.clcantechindia.com/ncwcic/fuel.html[2000, May 28])
3. Kober P.A. “Pervaporation, perstillation, and percrystallization.” J.Am.Chem.Soc.39, (1917): 944.
4. Faber L. “Applications of pervaporation.” Science 82, (1935): 158.
5. Binning R.C. and James J.F. “Permeation. A new commercial separation tool.” Pet.Eng.30, c14 (1958).
6. Binning R.C., Lee R.J., Jennings J.F., and Martin E.C. “Separation of liquid mixtures by permeation.” Ind.Eng.Chem. 53, (1961): 45.
7. Binning R.C., Jennings J.F., and Martin E.C. “Removal of water from organic chemicals.” U.S. Patent 3,035,062, 1962.
8. Aptel P., Challard N., Cuny J., and Neel J. “Application of the pervaporation process to separate azeotropic mixtures.” J.Membrane Sci. 1, (1976): 271.
9. Neel J., Nguyen Q.T., Clement R., and Le Blanc L. “Fractionation of a binary liquid mixture by continuous pervaporation.” J.Membrane Sci. 15, (1983): 43.
10. Ballweg A.H., Brüschke H.E.A., Schneider W.H., Tüsel G.F., and BÖddeker K.W. “Pervaporation membranes.” in Proceedings of Fifth International Alcohol Fuel Technology Symposium. Auckland: New Zealand, 1982.
11. Baker R.W. Membrane technology and application. New York: McGraw-Hill, 2000.
12. Huang R.Y.M. and Yeom C.K. “Pervaporation separation of aqueous mixture using crosslinked polyvinyl alcohol; 2 Permeation of ethanol water mixture.” J.Membrane Sci. 51, (1990):273.
13. รัตน์ จิระรัตนานนท์. กระบวนการแยกด้วยเยื่อแผ่นสังเคราะห์. กรุงเทพมหานคร : ภาควิชาเคมี สถาบันเทคโนโลยีพระจอมเกล้าชัชนาท, (2541): 219.
14. Winston W.S. and Sirkar K.K. eds. Membrane handbook. New York: Van Norstand Reinhold, 1992.
15. Huang R.Y.M. ed. Pervaporation membrane separation process. Amsterdam: Elsevier, 1991.

16. Cabasso I. "Organic liquid mixtures separation by permselective polymer membranes. I. Selection and characteristics of dense isotropic membranes employed in the pervaporation process." Ind. Eng. Chem. Prod. Res. Dev. 22, (1983): 313.
17. Feng X. and Huang R.Y.M. "Liquid separation by membrane pervaporation: A review." Ind. Eng. Chem. Res. 36, (1997): 1048.
18. Masuda T., Takatsuka M., Tang B.Z., and Higashimura T. "Pervaporation of organic liquid-water mixtures through substituted polyacrylene membranes." J. Membrane Sci. 49, (1990): 69.
19. Brüschke H.E.A. "State of art of pervaporation." in Proceedings of Third International Conference on Pervaporation Process in the Chemical Industry, Bakish R., ed. Nancy: France, 1988.
20. Watanabe K. and Kyo S. "Pervaporation performance of hollow-fiber chitosan-polyacrylonitrile composite membrane in dehydration of ethanol." J. Chem. Eng. Japan 25, (1992): 17.
21. Wenzlaff A., Böddeker K.W., and Hattenbach. "Pervaporation of water-ethanol through ion exchange membranes." J. Membrane Sci. 22, (1985): 333.
22. Cabasso I. and Liu Z.-Z. "The Permselectivity of ion-exchange membrane for non-electrolyte liquid mixtures." J. Membrane Sci. 24, (1985): 101.
23. Athayde A.L., Baker R.W., Daniels R., Le M.H., and Ly J.H. "Pervaporation for wastewater treatment." CHEMTECH 27, (1997): 34.
24. Bennett M., Brisdon B.J., England R., and Feld R.W. "Performance of PDMS and organofunctionalized PDMS membranes for the pervaporation recovery of organics from aqueous streams." J. Membrane Sci. 137, (1997): 63.
25. Nijhuis H.H., Mulder M.V.H., and Smolders C.A. "Selection of elastometric membranes for the removal of volatile organic components from water." in Proceedings of Third International Conference on Pervaporation Processes in the Chemical Industry, Bakish R., ed. Nancy: France, 1988.
26. Bengtson G. and Böddeker K.W. "Pervaporation of low volatiles from water." in Proceedings of Third International Conference on Pervaporation Processes in the Chemical Industry, Bakish R., ed. Nancy: France, 1988.

27. Chen M.S.K., Eng R.M., Glazer J.L., and Wensley C.G. "Pervaporation process for separating alcohols from ethers." U.S. Patent 4,774,365, 1988.
28. Schucker R.C. "Highly aromatic polyurea/urethane membranes and their use of the separation of aromatics from non-aromatics." U.S. Patents 5,063,186; 5,055,632; 4,983,338; and many others.
29. Mochizuki A., Amiya S., Sato Y., Ogawara H., and Yamashita S. "Pervaporation separation of water/ethanol mixtures through polysaccharide membrane. IV The relationships between the permselectivity of alginic acid membranes and its solid states structure." J.Appl.Polym.Sci 37, (1989): 3385.
30. Yeom C.K., Jegal J.G., and Lee K.H. "Characterization of relaxation phenomena and permeation behaviors in Sodium alginate membrane during pervaporation separation of ethanol-water mixture." J.Appl.Polym.Sci 62, (1996): 1561.
31. Tsuyumoto M., Karakane H., Maeda Y., and Tsugaya H. "Development of polyion complex hollow fiber membrane for separation of water-ethanol mixtures." Desalination 80, (1991): 139.
32. Shi Y.Q., Wang X.W., and Chen G.W. "Pervaporation characteristics and solution-diffusion behaviors through Sodium alginate dense membrane." J.Appl.Polym.Sci 61, (1996): 1387.
33. Yeom C.K. and Lee K.-H. "Characterization of Sodium alginate and poly (vinyl alcohol) blend membranes in pervaporation separation." J.Appl.Polym.Sci 67, (1998): 949.
34. Yeom C.K. and Lee K.-H. "Characterization of Sodium alginate membrane crosslinked with glutaraldehyde in pervaporation separation." J.Appl.polym.Sci 67, (1998): 209.
35. Böddeker K.W. "Terminology in Pervaporation." J.Membrane Sci 51,(1990):259.
36. Rhim J.-W, Yoon S.-W., Kim S.-W., and Lee K.-H. "Pervaporation separation and swelling measurement of acetic acid-water mixtures using crosslinked PVA membranes." J.Appl.Poly.Sci 63, (1997): 521.



ภาคพนวก

# ศูนย์วิทยทรัพยากร จุฬาลงกรณ์มหาวิทยาลัย

## ภาคผนวก ก

### การเตรียมสารเคมีที่ใช้ในงานวิจัย

#### 1. สารละลายน้ำยาตรฐานเปรียบเทียบภายใน (internal standard)

สารละลายน้ำยาตรฐานเปรียบเทียบภายในที่ใช้คือ โพรพาโนล (*n*-propanal) เข้มข้น 30 กรัมต่อลิตร ซึ่งสารละลายน้ำยาตรฐานอ่อนบริสุทธิ์ที่ใช้ (99.5%) ปริมาตร 1 มิลลิลิตร มีน้ำหนักเท่ากับ 0.8040 กรัม ดังนั้นปีไปปีตสารละลายน้ำยาตรฐานอ่อนบริสุทธิ์ 1.875 มิลลิลิตร ใส่ในขวดปรับปริมาตร(volumetric flask) ขนาด 50 มิลลิลิตร ปรับปริมาตรด้วยน้ำขัด ไออ่อนให้ครบ 50 มิลลิลิตร

#### 2. สารละลายน้ำยาตรฐานอ่อนสัมบูรณ์น้ำยาตรฐานเข้มข้น 0-100 กรัมต่อลิตร

สารละลายน้ำยาตรฐานอ่อนสัมบูรณ์ (absolute ethanol 99.8%) ปริมาตร 1 มิลลิลิตร มีน้ำหนักเท่ากับ 0.7908 กรัม ดังนั้นปีไปปีตสารละลายน้ำยาตรฐานอ่อนสัมบูรณ์มา 0.253, 0.507, 0.760, 1.014 และ 1.267 มิลลิลิตร ใส่ในขวดปรับปริมาตรขนาด 10 มิลลิลิตร จะได้สารละลายน้ำยาตรฐานอ่อนสัมบูรณ์น้ำยาตรฐานเข้มข้น 20, 40, 60, 80 และ 100 กรัมต่อลิตรตามลำดับ ปีไปปีตสารละลายน้ำยาตรฐานอ่อนสัมบูรณ์น้ำยาตรฐานที่ความเข้มข้นระดับต่างๆปริมาตร 1 มิลลิลิตร ใส่ในหลอดทดลองไฟเกลียวเติมสารละลายน้ำยาตรฐานเปรียบเทียบภายในจากข้อ 5 ปริมาตร 1 มิลลิลิตร เบเย่าให้เข้ากันและฉีดตัวอย่าง 1 ໄมโครลิตเรข้า!ครื่องโกรณาโตรกราฟ

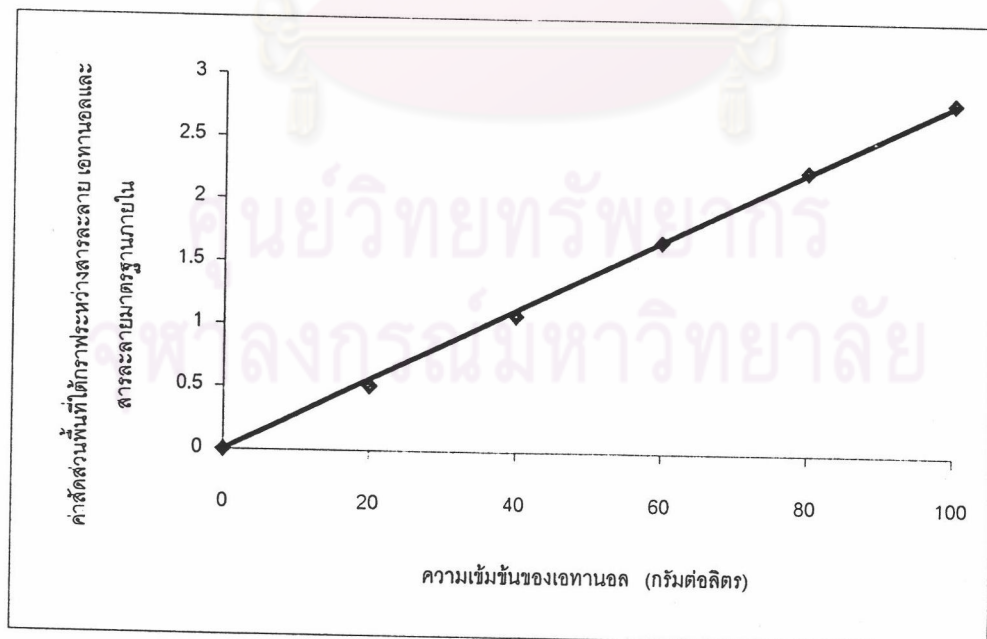
ศูนย์วิทยาหรรพยากร  
จุฬาลงกรณ์มหาวิทยาลัย

ภาคผนวก ข  
กราฟมาตรฐาน

1. กราฟมาตรฐานของสารละลายนอกสัมบูรณ์

ตารางที่ ข-1 ความสัมพันธ์ระหว่างปริมาณເອທານອລກับค่าสัดส่วนของพื้นที่ใต้กราฟ

ความเข้มข้นของເອທານອລ (กรัมต่อลิตร)	ค่าสัดส่วนพื้นที่ใต้กราฟของสารละลายนอก ต่อพื้นที่ใต้กราฟของสารละลายมาตรฐานภายใน
0	0
20	0.5057
40	1.0779
60	1.6751
80	2.2519
100	2.8096



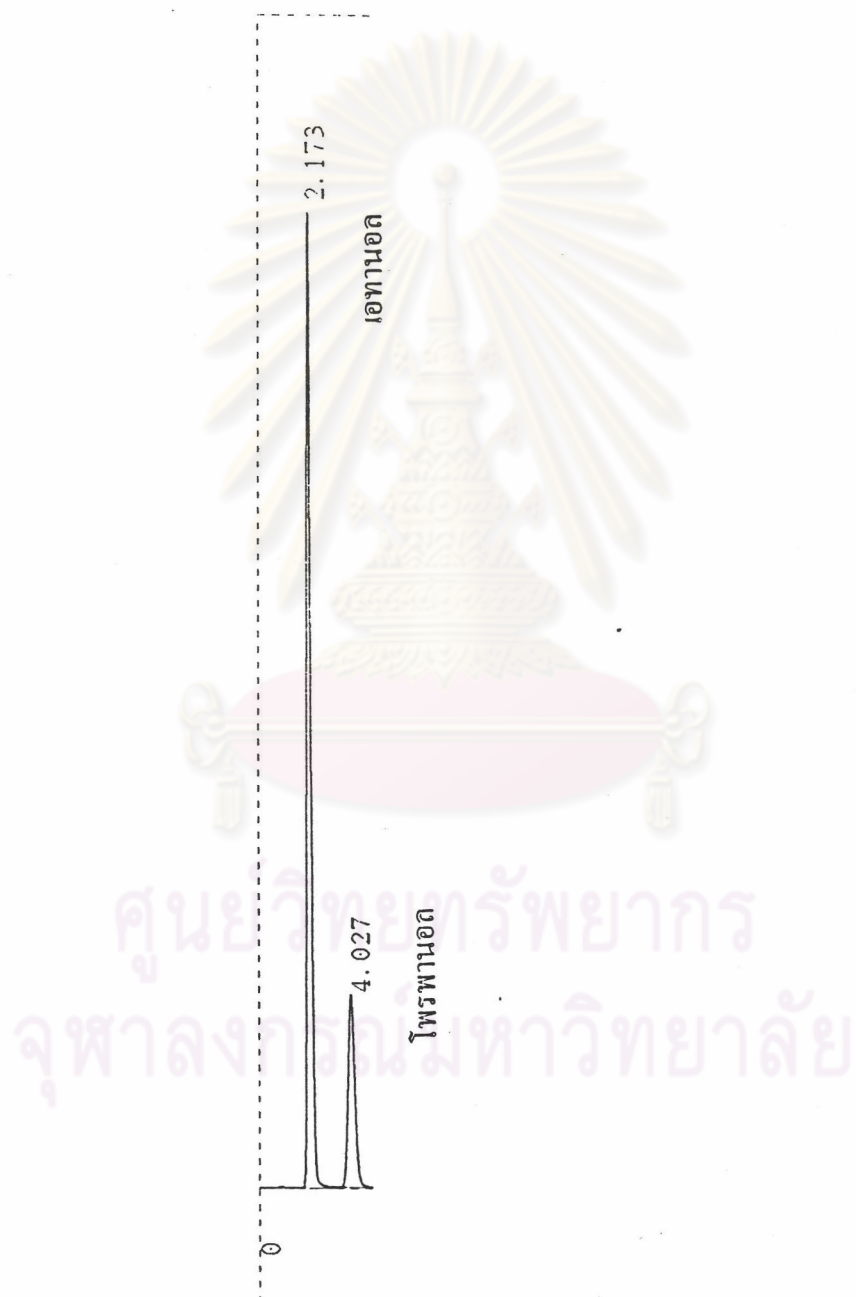
รูปที่ ข-1 กราฟมาตรฐานของເອທານອລสัมบูรณ์

จากราฟมาตราฐานสำหรับปริมาณอุทานอลมี

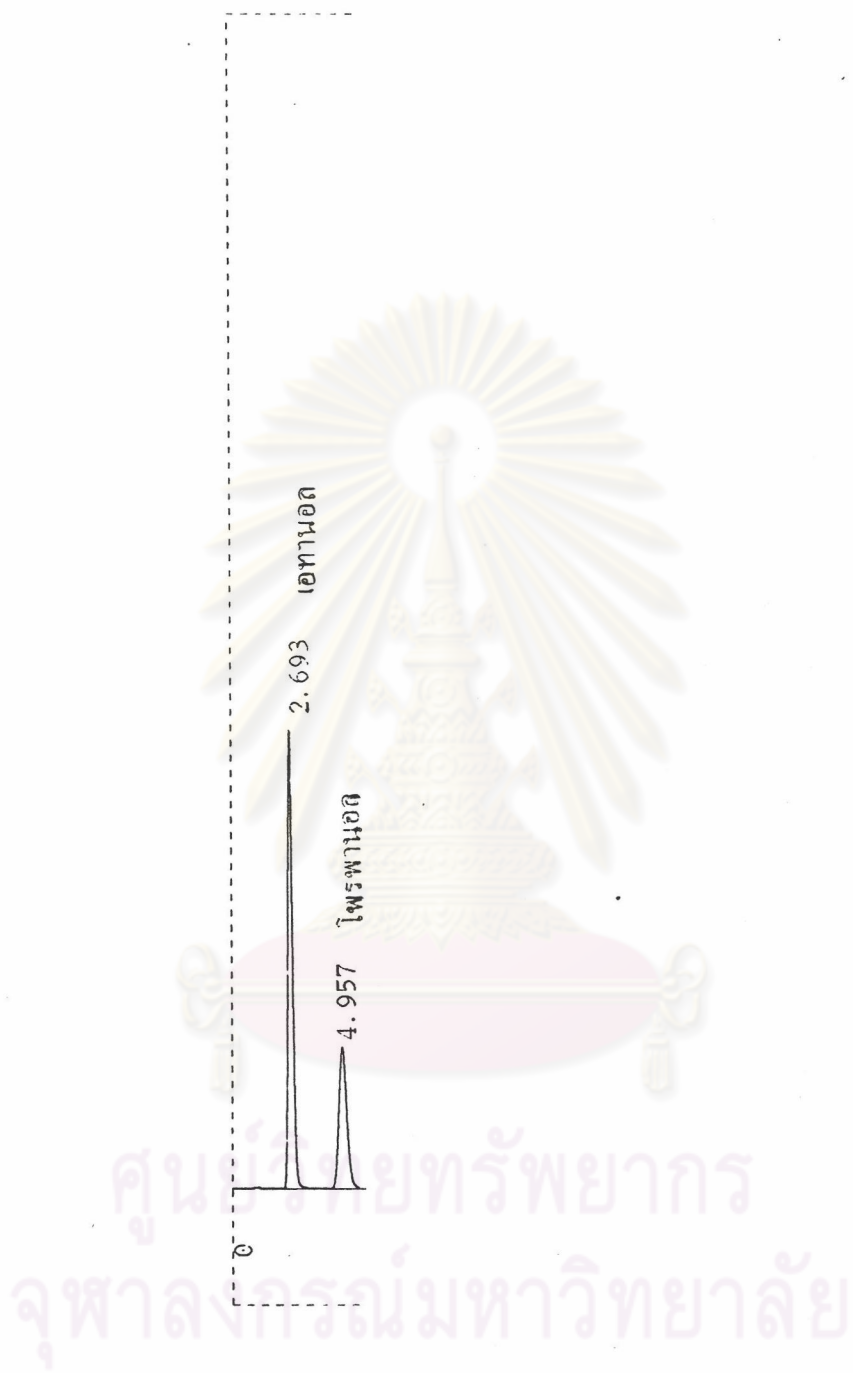
$$\text{ค่าสหสัมพันธ์ } (R^2) = 0.0991$$

$$\text{ค่าความชัน } (\text{slope}) = 0.0279$$

ดังนั้นปริมาณอุทานอล (กรัมต่อลิตร) = ค่าสัดส่วนพื้นที่ได้กราฟ  $\times 1/\text{ความชัน}$



รูปที่ ข-2 ตัวอย่างโปรแกรมของอุทานอลในด้านรีเทนเกรตเมื่อใช้ไฟฟ้าอุทานอลเป็นสารมาตรฐานเปรียบเทียบภายในวิเคราะห์ด้วยเครื่องก้าช โปรแกรมไฟฟ้า



รูปที่ ข-3 ตัวอย่างโปรแกรมของอุตสาหกรรมในด้านเพอร์มิเอตเมื่อใช้ไฟฟ้าอุดเป็นสารมาตรฐานเปรียบเทียบภายใน วิเคราะห์ด้วยเครื่องก๊าซ chromatograph

## ภาคพนวก ค

### การคำนวณ

#### 1. การดูดซึมสารละลายน้ำ-อุทานออลโดยเยื่อแผ่น

##### 1.1 ดีกรีการพองตัวของเยื่อแผ่น(Swelling degree)

$$S.W. = \frac{(W_m - D_m)}{D_m}$$

เมื่อ  $S.W.$  คือ ดีกรีการพองตัวของเยื่อแผ่น

$W_m$  คือ น้ำหนักของเยื่อแผ่นหลังจากแช่สารละลายน้ำ

$D_m$  คือ น้ำหนักของเยื่อแผ่นก่อนแช่สารละลายน้ำ

##### 1.2 ความเข้มข้นของอุทานออลในเยื่อแผ่น

$$x_{Em} = \frac{F_i x_{El} - (F_i - (W_m - D_m)) x_{E2}}{D_m}$$

เมื่อ  $F_i$  คือ น้ำหนักของสารละลายน้ำ

$x_{El}$  คือ ความเข้มข้นของสารละลายน้ำอุทานออลก่อนแช่เยื่อแผ่น

$x_{E2}$  คือ ความเข้มข้นของสารละลายน้ำอุทานออลหลังแช่เยื่อแผ่น

##### 1.3 ความเข้มข้นของน้ำในเยื่อแผ่น

$$x_{wm} = S.W. - x_{Em}$$

เมื่อ  $x_{Em}$  คือ ความเข้มข้นของอุทานออลในเยื่อแผ่น

##### 1.4 สัมประสิทธิ์การกระจายของน้ำในเยื่อแผ่น

$$S_w = \frac{x_w^m}{(1-x_E^s)}$$

เมื่อ	$x_E^s$	ความเข้มข้นของอุทานอลในสารละลาย
	$x_w^m$	ความเข้มข้นของน้ำในเยื่อแผ่น (กรัมน้ำ/กรัมสารละลาย)

### 1.5 สัมประสิทธิ์การกระจายของอุทานอลในเยื่อแผ่น

$$S_E = \frac{x_E^m}{x_E^s}$$

เมื่อ	$x_E^m$	คือ ความเข้มข้นของอุทานอลในเยื่อแผ่น(กรัมอุทานอล/กรัมสารละลาย)
-------	---------	--

## 2. เพอร์เมอชัน

### 2.1 เพอร์เมอชันฟลักซ์ของสารละลาย

$$J = \frac{W}{A \cdot t} \quad \text{กรัม/ตารางเมตร-ชั่วโมง}$$

เมื่อ	$W$	คือ น้ำหนักเพอร์เมอต
	$A$	พื้นที่ผิวเยื่อ
	$t$	เวลา

### 2.2 ฟลักซ์ของอุทานอล

$$J_E = y_E J \quad \text{กรัม/ตารางเมตร-ชั่วโมง}$$

เมื่อ	$y_E$	คือ ความเข้มข้นของอุทานอลในเพอร์เมอต
-------	-------	--------------------------------------

### 2.3 ฟลักซ์ของน้ำ

$$J_w = J - J_E \quad \text{กรัม/ตารางเมตร-ชั่วโมง}$$

2.4 ค่าการซึมผ่านเยื่อแผ่นของน้ำ

$$P_w = J_w \cdot l$$

เมื่อ  $l$  คือ ความหนาของเยื่อแผ่น

2.5 ค่าการซึมผ่านเยื่อแผ่นของอุทกนอล

$$P_E = J_E \cdot l$$

2.6 สัมประสิทธิ์การแพร่ของน้ำ

$$D_w = \frac{P_w}{S_w}$$

2.7 สัมประสิทธิ์การแพร่ของอุทกนอล

$$D_E = \frac{P_E}{S_E}$$

2.8 ค่าการเลือก

$$\alpha = \frac{y_w/y_E}{x_w/x_E} = \frac{(1-y_E)/y_E}{(1-x_E)/x_E}$$

เมื่อ  $x_E, y_E$  คือ ความเข้มข้นของอุทกนอลในรีเทนเกรตและเพอร์มิอ็อกตาน

ลำดับ

ภาคผนวก ๙

## ข้อมูลในการทดสอบ

ตารางที่ ง-1 ข้อมูลการทดลองการหาความเข้มข้นของເອການອລແລະນໍາໃນເຢືດແຜ່ນເງິນທີ/ເຊລໄວັບນີ້ໃນສາງລະຄາຍ 95% ເອການອລທີ່ອຸປະກອນມີຕ່າງໆເປັນເວລາ 48 ຊົ່ວໂມງ ເນື້ອໃຈແລດງິນທີ່ກວາມເຂັ້ມຂັ້ນ 1% ໂດຍນໍາຫັນກຳລັບອົບທີ່ພົວໜ້າຂອງເຊລໄວັບ

อุณหภูมิ (องศาเซลเซียส)	น้ำหนักของสารละลายน้ำแข็งเยื่อแผ่นที่ใช้แข็งเยื่อแผ่น (กรัม)	น้ำหนักเยื่อแผ่นก้อนแข็งใน 95% เอทานอล (กรัม)	น้ำหนักเยื่อแผ่นหลังแข็งใน 95% เอทานอล (กรัม)	ความเข้มข้นของสารละลายน้ำแข็งเยื่อแผ่น (น้ำหนัก/น้ำหนัก)	ความเข้มข้นของเอทานอลในเยื่อแผ่น (น้ำหนัก/น้ำหนัก)	ความเข้มข้นของน้ำในเยื่อแผ่น (น้ำหนัก/น้ำหนัก)
40	3.98	1.18	1.55	0.972	0.194	0.120
50	4.50	1.62	2.20	0.964	0.273	0.085
60	2.05	1.25	1.79	0.956	0.369	0.063
70	4.11	1.39	2.02	0.954	0.388	0.065

ตารางที่ ง-2 ข้อมูลการทดลองการหาความเข้มข้นของເອການອລແລະນໍາໃນເຢືດແຜ່ນທີ່ປະກອບແອລຈິນຕ/ເຊລໄວຝັນໃນສາງຄະຫຍາ  
95% ເອການອລທີ່ອຸພາຫຼວມໃຕ້ງຈາເປັນເວລາ 48 ຊົ່ວໂມງ ເນື້ອໃຫ້ແອລຈິນຕທີ່ກວາມເຂັ້ມຂັ້ນ 2% ໂດຍນໍາຫັນກັບເຄີຍອື່ນທີ່ພິວງໜ້າຂອງເຊລໄວຝັນ

อุณหภูมิ (องศาเซลเซียส)	น้ำหนักของสารละลาย ที่ใช้แข็งเยื่อแผ่น (กรัม)	น้ำหนักเยื่อแผ่น ก่อนแช่ใน 95% เอทานอล (กรัม)	น้ำหนักเยื่อแผ่น หลังแช่ใน 95% เอทานอล (กรัม)	ความเข้มข้น ของสารละลาย หลังแข็งเยื่อแผ่น (น้ำหนัก/น้ำหนัก) (น้ำหนัก/น้ำหนัก)	ความเข้มข้น ของเอทานอล ในเยื่อแผ่น (น้ำหนัก/น้ำหนัก)	ความเข้มข้น ของน้ำใน เยื่อแผ่น (น้ำหนัก/น้ำหนัก)
40	3.21	1.64	2.01	0.982	0.137	0.088
50	2.45	1.42	1.83	0.966	0.232	0.056
60	2.51	1.51	2.08	0.961	0.326	0.051
70	2.46	1.35	1.89	0.963	0.347	0.053

ตารางที่ ง-3 ข้อมูลการทดลองการหาความเข้มข้นของເອການອລແລະນໍາໃນເຢືອແຜ່ນທີ່ປະກອບແອລິຈິນດ/ເຊລໂໄພັນໃນສາຮະລາຍ 95% ເອການອລທີ່ອຸ່ນທຸກມີຕ່າງໆເປັນເວລາ 48 ຊົ່ວໂມງ ເນື້ອໃຫ້ແອລິຈິນດທີ່ຄວາມເຂັ້ມຂຶ້ນ 3% ໂດຍນໍາຫັນກັບເຄລືອນທີ່ພິວງໜ້າຂອງເຊລໂໄພັນ

อุณหภูมิ (องศาเซลเซียส)	น้ำหนักของสารละลายน้ำที่ใช้เพื่อยืดแผ่น (กรัม)	น้ำหนักเยื่อแผ่นก่อนแช่ใน 95% เอทานอล (กรัม)	น้ำหนักเยื่อแผ่นหลังแช่ใน 95% เอทานอล (กรัม)	ความเข้มข้นของสารละลายน้ำที่ใช้เยื่อแผ่น (น้ำหนัก/น้ำหนัก)	ความเข้มข้นของเอทานอลในเยื่อแผ่น (น้ำหนัก/น้ำหนัก)	ความเข้มข้นของน้ำในเยื่อแผ่น (น้ำหนัก/น้ำหนัก)
40	3.20	3.11	3.78	0.985	0.149	0.050
50	2.18	2.04	2.56	0.975	0.200	0.051
60	2.03	1.48	1.88	0.974	0.223	0.048
70	3.18	2.34	3.17	0.972	0.300	0.055

ตารางที่ ง-4 ข้อมูลการทดลองการหาค่าฟลักซ์ของสารละลาย, ฟลักซ์ของน้ำ และฟลักซ์ของอุกกาบาตผ่านเยื่อแผ่นเชิงประgonbok jineot/เซลโลโฟนที่ความดันเพอร์มิเอต -300 มิลลิเมตรป্রoth เวลาที่ใช้ในการทดลอง 5 ชั่วโมง

ความเข้มข้นของ แอดเจนต์ที่ใช้คือ ที่ผิวน้ำของเซลโลโฟน (%โดยน้ำหนัก)	อุณหภูมิ (องศาเซลเซียส)	น้ำหนักของ เพอร์มิเอต (กรัม)	ความเข้มข้น ของอุกกาบาต ในสารปื้อน (น้ำหนัก/น้ำหนัก)	ความเข้มข้น ของอุกกาบาต ในเพอร์มิเอต (น้ำหนัก/น้ำหนัก)	ฟลักซ์ของ สารละลาย (กรัม/ตาราง เมตร-ชั่วโมง)	ฟลักซ์ของ อุกกาบาต (กรัม/ตาราง เมตร-ชั่วโมง)	ฟลักซ์ของ น้ำ (กรัม/ตาราง เมตร-ชั่วโมง)
1	40	2.23	0.969	0.055	246.4	13.6	232.9
	50	2.74	0.956	0.047	302.8	14.2	288.5
	60	3.47	0.955	0.039	383.4	15.0	368.5
	70	3.67	0.966	0.056	405.5	22.7	382.8
2	40	1.27	0.98	0.018	140.3	2.5	137.8
	50	1.86	0.965	0.036	205.5	7.4	198.1
	60	1.95	0.96	0.025	215.5	5.4	210.1
	70	2.04	0.976	0.048	225.4	10.8	214.6
3	40	1.37	0.953	0.011	151.4	1.7	149.7
	50	1.62	0.984	0.023	179.0	4.1	174.9
	60	2.04	0.984	0.039	225.4	8.8	216.6
	70	2.11	0.974	0.046	233.1	10.7	222.4

ศูนย์วิทยทรัพยากร  
จุฬาลงกรณ์มหาวิทยาลัย

ตารางที่ ง-๕ ข้อมูลการทดลองการหาค่าฟลักซ์ของสารละลายน้ำ และฟลักซ์ของอุตสาหกรรมอลก้านเยื่อแผ่นเชิงประยุกต์แอ็ลจีเนต/เซลล์โลไฟฟ์ที่ความดันเพอร์มิเอต -350 มิลลิเมตรป্রอท เวลาที่ใช้ในการทดลอง ๕ ชั่วโมง

ความเข้มข้นของ แอ็ลจีเนตที่ใช้เกลือน ที่ผิวน้ำของเซลล์โลไฟฟ์ (%โดยน้ำหนัก)	อุณหภูมิ (องศาเซลเซียส)	น้ำหนักของ เพอร์มิเอต (กรัม)	ความเข้มข้น ของอุตสาหกรรม ในสารป้อน (น้ำหนัก/น้ำหนัก)	ความเข้มข้น ของอุตสาหกรรม ในเพอร์มิเอต (น้ำหนัก/น้ำหนัก)	ฟลักซ์ของ สารละลายน้ำ (กรัม/ตาราง เมตร-ชั่วโมง)	ฟลักซ์ของ อุตสาหกรรม (กรัม/ตาราง เมตร-ชั่วโมง)	ฟลักซ์ของ น้ำ (กรัม/ตาราง เมตร-ชั่วโมง)
1	40	2.66	0.974	0.070	293.9	20.7	273.3
	50	3.33	0.982	0.058	368.0	21.3	346.6
	60	3.50	0.969	0.059	386.7	22.8	363.9
	70	4.53	0.974	0.067	500.6	33.5	467.0
2	40	1.57	0.973	0.015	173.5	2.6	170.9
	50	2.15	0.975	0.021	237.6	5.1	232.5
	60	2.27	0.979	0.032	250.8	8.0	242.8
	70	3.30	0.975	0.048	364.6	17.4	347.2
3	40	1.57	0.962	0.011	173.5	1.8	171.6
	50	1.72	0.982	0.035	190.1	6.7	183.3
	60	2.13	0.959	0.041	235.4	9.7	225.7
	70	2.32	0.982	0.049	256.4	12.4	243.9

ศูนย์วิทยทรัพยากร  
จุฬาลงกรณ์มหาวิทยาลัย

ตารางที่ ง-6 ข้อมูลการทดลองการหาค่าฟลักซ์ของสารละลาย, ฟลักซ์ของน้ำ และฟลักซ์ของอุทานอลผ่านเยื่อแผ่นเชิงประกอบแอคเจนต/เซลโลฟันที่ความดันเพอร์มิเอต -400 มิลลิเมตรproto/เวลาที่ใช้ในการทดลอง 5 ชั่วโมง

ความเข้มข้นของ แอลจีโนที่ใช้เคลือบ ที่ผิวน้ำของเซลโลฟัน (%โดยน้ำหนัก)	อุณหภูมิ (องศาเซลเซียส)	น้ำหนักของ เพอร์มิเอต (กรัม)	ความเข้มข้น ของอุทานอล ในสารปืน (น้ำหนัก/น้ำหนัก)	ความเข้มข้น ของอุทานอล ในเพอร์มิเอต (น้ำหนัก/น้ำหนัก)	ฟลักซ์ของ สารละลาย (กรัม/ตาราง เมตร-ชั่วโมง)	ฟลักซ์ของ อุทานอล (กรัม/ตาราง เมตร-ชั่วโมง)	ฟลักซ์ของ น้ำ (กรัม/ตาราง เมตร-ชั่วโมง)
1	40	3.60	0.979	0.039	397.8	15.7	382.1
	50	3.68	0.978	0.047	406.6	19.1	387.6
	60	4.35	0.982	0.053	480.7	25.3	455.3
	70	5.09	0.977	0.061	562.4	34.4	528.1
2	40	1.75	0.943	0.023	193.4	4.4	188.9
	50	2.27	0.978	0.027	250.8	6.8	244.0
	60	2.64	0.994	0.052	291.7	15.1	276.6
	70	2.84	0.988	0.053	313.8	16.5	297.3
3	40	1.92	0.979	0.017	212.2	3.6	208.5
	50	1.95	0.985	0.027	215.5	5.8	209.6
	60	2.32	0.976	0.044	256.4	11.2	245.2
	70	2.25	0.982	0.052	248.6	12.9	235.7

ศูนย์วิทยทรัพยากร  
จุฬาลงกรณ์มหาวิทยาลัย

ตารางที่ ง-7 ข้อมูลการทดลองการหาค่าฟลักซ์ของสารละลาย, ฟลักซ์ของน้ำ และฟลักซ์ของเอทานอลผ่านเยื่อแผ่นเชิงประยุกต์แล็ปจีนต์/เซล โลไฟฟ์ที่ความดันเพอร์มิโอต -450 มิลลิเมตรprotox เวลาที่ใช้ในการทดลอง 5 ชั่วโมง

ความเข้มข้นของ แล็ปจีนต์ที่ใช้เกลือบ ที่ผิวน้ำของเซล โลไฟฟ์ (% โคลนนิหนัก)	อุณหภูมิ (องศาเซลเซียส)	น้ำหนักของ เพอร์มิโอต (กรัม)	ความเข้มข้น ของเอทานอล ในสารป้อน (น้ำหนัก/น้ำหนัก)	ความเข้มข้น ของเอทานอล ในเพอร์มิโอต (น้ำหนักน้ำหนัก)	ฟลักซ์ของ สารละลาย (กรัม/ตาราง เมตร-ชั่วโมง)	ฟลักซ์ของ เอทานอล (กรัม/ตาราง เมตร-ชั่วโมง)	ฟลักซ์ของ น้ำ (กรัม/ตาราง เมตร-ชั่วโมง)
1	40	4.15	0.934	0.116	458.6	53.3	405.3
	50	6.51	0.951	0.124	719.3	89.1	630.2
	60	8.38	0.966	0.159	926.0	147.7	778.3
	70	9.24	0.967	0.166	1021.0	169.1	851.9
2	40	2.35	0.969	0.064	259.7	16.7	242.9
	50	2.75	0.995	0.042	303.9	12.7	291.1
	60	3.25	0.978	0.069	359.1	24.9	334.2
	70	3.50	0.987	0.078	386.7	30.1	356.6
3	40	2.19	0.965	0.017	242.0	4.2	237.8
	50	2.27	0.985	0.038	250.8	9.5	241.4
	60	2.38	0.979	0.074	263.0	19.4	243.6
	70	2.49	0.976	0.073	275.1	20.0	255.1

ศูนย์วิทยทรัพยากร  
จุฬาลงกรณ์มหาวิทยาลัย

ตารางที่ ง-8 ข้อมูลการทดลองการหาค่าฟลักซ์ของสารละลาย, ฟลักซ์ของน้ำ และฟลักซ์ของเอทานอลผ่านเยื่อแผ่นเชิงประยุกต์แอคเจนต/เซลโลฟานที่ความดันเพอร์มิอ็ต -560 มิลลิเมตรปรอหราเวลาที่ใช้ในการทดลอง 5 ชั่วโมง

ความเข้มข้นของ แอคเจนตที่ใช้เคลือบ ที่ผิวน้ำของเซลโลฟาน (%โดยน้ำหนัก)	อุณหภูมิ (องศาเซลเซียส)	น้ำหนักของ เพอร์มิอ็ต (กรัม)	ความเข้มข้น ของเอทานอล ในสารป้อน (น้ำหนัก/น้ำหนัก)	ความเข้มข้น ของเอทานอล ในเพอร์มิอ็ต (น้ำหนัก/น้ำหนัก)	ฟลักซ์ของ สารละลาย (กรัม/ตาราง เมตร-ชั่วโมง)	ฟลักซ์ของ เอทานอล (กรัม/ตาราง เมตร-ชั่วโมง)	ฟลักซ์ของ น้ำ (กรัม/ตาราง เมตร-ชั่วโมง)
1	40	-*	-*	-*	-*	-*	-*
	50	-*	-*	-*	-*	-*	-*
	60	-*	-*	-*	-*	-*	-*
	70	-*	-*	-*	-*	-*	-*
2	40	3.09	0.980	0.066	341.4	22.6	318.9
	50	3.64	0.988	0.108	402.2	43.3	358.9
	60	4.38	0.984	0.105	484.0	50.6	433.4
	70	4.48	0.987	0.120	495.0	59.6	435.4
3	40	2.69	0.988	0.023	297.2	6.8	290.4
	50	2.25	0.988	0.030	248.6	7.3	241.3
	60	3.02	0.982	0.064	333.7	21.2	312.5
	70	3.35	0.984	0.080	370.2	29.5	340.7

-\* เยื่อแผ่นพิึกขาดไม่สามารถวัดค่าได้

ศูนย์วิทยทรัพยากร  
จุฬาลงกรณ์มหาวิทยาลัย

ตารางที่ ง-9 ค่าการเลือกของเยื่อแผ่นชิงประกอบแอลจีเนต/เซลโลไฟน์สำหรับสารละลายน้ำ 95% เอทานอล ที่ความดัน -300 มิลลิเมตรป্রอท เวลาที่ใช้ในการทดลอง 5 ชั่วโมง

ความเข้มข้นของแอลจีเนต ที่ใช้เคลือบบนเซลโลไฟน์ (%โดยน้ำหนัก)	อุณหภูมิ (องศาเซลเซียส)			
	40	50	60	70
1	537	441	523	479
2	2673	738	936	807
3	1823	2612	1515	777

ตารางที่ ง-10 ค่าการเลือกของเยื่อแผ่นชิงประกอบแอลจีเนต/เซลโลไฟน์สำหรับสารละลายน้ำ 95% เอทานอล ที่ความดัน -35 มิลลิเมตรป্রอท เวลาที่ใช้ในการทดลอง 5 ชั่วโมง

ความเข้มข้นของแอลจีเนต ที่ใช้เคลือบบนเซลโลไฟน์ (%โดยน้ำหนัก)	อุณหภูมิ (องศาเซลเซียส)			
	40	50	60	70
1	495	886	499	522
2	2415	1795	1411	778
3	2361	1491	546	1069

ตารางที่ ง-11 ค่าการเลือกของเยื่อแผ่นชิงประกอบแอลจีเนต/เซลโลไฟน์สำหรับสารละลายน้ำ 95% เอทานอล ที่ความดัน -400 มิลลิเมตรป্রอท เวลาที่ใช้ในการทดลอง 5 ชั่วโมง

ความเข้มข้นของแอลจีเนต ที่ใช้เคลือบบนเซลโลไฟน์ (%โดยน้ำหนัก)	อุณหภูมิ (องศาเซลเซียส)			
	40	50	60	70
1	1147	903	960	646
2	704	1599	2960	1448
3	2696	2413	876	977

ตารางที่ ง-12 ค่าการเสื่อมของเยื่อแผ่นเชิงประดุจเน็ต/เซลล์โลไฟฟ์สำหรับสารละลาย 95% เอทานอล ที่ความดัน -450 มิลลิเมตรปั๊ว เวลาที่ใช้ในการทดลอง 5 ชั่วโมง

ความเข้มข้นของยาล็อกจีนต์ที่ใช้เคลือบบนเซลล์โลไฟฟ์ (%โดยน้ำหนัก)	อุณหภูมิ (องศาเซลเซียส)			
	40	50	60	70
1	109	138	149	148
2	461	4633	595	807
3	1561	1708	592	508

ตารางที่ ง-13 ค่าการเสื่อมของเยื่อแผ่นเชิงประดุจเน็ต/เซลล์โลไฟฟ์สำหรับสารละลาย 95% เอทานอล ที่ความดัน -500 มิลลิเมตรปั๊ว เวลาที่ใช้ในการทดลอง 5 ชั่วโมง

ความเข้มข้นของยาล็อกจีนต์ที่ใช้เคลือบบนเซลล์โลไฟฟ์ (%โดยน้ำหนัก)	อุณหภูมิ (องศาเซลเซียส)			
	40	50	60	70
1	-*	-*	-*	-*
2	707	668	530	535
3	3437	2651	787	715

ศูนย์วิทยทรัพยากร  
จุฬาลงกรณ์มหาวิทยาลัย

ตารางที่ ง-14 ค่าการซึมผ่านของอุตสาหกรรมและน้ำผ่านเขื่อนแม่น้ำเจ้าพระยา/ชลโภพที่ความดัน -300 มิลลิเมตรปรerot

ความเข้มข้นของแอลจีนที่ใช้เคลือบ ที่ผิวน้ำของชลโภพ (%โดยน้ำหนัก)	อุณหภูมิ (องศาเซลเซียส)	ค่าการซึมผ่านเขื่อนแม่น้ำผ่าน ของอุตสาหกรรม ( $\times 10^{-3}$ กิรัน-เมตร/คร.ม.-ชั่วโมง)	ค่าการซึมผ่านเขื่อนแม่น้ำ ของน้ำ ( $\times 10^{-3}$ กิรัน-เมตร/คร.ม.-ชั่วโมง)
1	40	0.48	8.24
	50	0.50	10.21
	60	0.53	13.04
	70	0.80	13.55
2	40	0.12	6.44
	50	0.35	9.25
	60	0.25	9.81
	70	0.51	10.02
3	40	0.09	8.34
	50	0.23	9.74
	60	0.49	12.07
	70	0.60	12.39

ตารางที่ ง-15 ค่าการซึมผ่านของอุตสาหกรรมและน้ำผ่านเขื่อนแม่น้ำเจ้าพระยา/ชลโภพที่ความดัน -350 มิลลิเมตรปรerot

ความเข้มข้นของแอลจีนที่ใช้เคลือบ ที่ผิวน้ำของชลโภพ (%โดยน้ำหนัก)	อุณหภูมิ (องศาเซลเซียส)	ค่าการซึมผ่านเขื่อนแม่น้ำผ่าน ของอุตสาหกรรม ( $\times 10^{-3}$ กิรัน-เมตร/คร.ม.-ชั่วโมง)	ค่าการซึมผ่านเขื่อนแม่น้ำ ของน้ำ ( $\times 10^{-3}$ กิรัน-เมตร/คร.ม.-ชั่วโมง)
1	40	0.73	9.67
	50	0.76	12.27
	60	0.81	12.88
	70	1.19	16.53
2	40	0.12	7.98
	50	0.24	10.86
	60	0.37	11.34
	70	0.81	16.22
3	40	0.10	9.56
	50	0.37	10.21
	60	0.54	12.57
	70	0.69	13.59

ตารางที่ ง-16 ค่าการซึมผ่านของอุตสาหกรรมและน้ำผ่านเขื่อแผ่นเชิงประกลบแอลจีเนต/เซลล์โลไฟฟ์ที่ความดัน -400 มิลลิเมตรป্রอท

ความเข้มข้นของแอลจีเนตที่ใช้เคลือบ ที่ผิวน้ำของเซลล์โลไฟฟ์ (%โดยน้ำหนัก)	อุณหภูมิ (องศาเซลเซียส)	ค่าการซึมผ่านเขื่อแผ่นของ ເອທານອລ ( $\times 10^{-3}$ กรัม-เมตร/ตร.ม.-ชั่วโมง)	ค่าการซึมผ่านเขื่อแผ่น ของน้ำ ( $\times 10^{-3}$ กรัม-เมตร/ตร.ม.-ชั่วโมง)
1	40	0.56	13.53
	50	0.68	13.72
	60	0.90	16.12
	70	1.22	18.69
2	40	0.21	8.82
	50	0.32	11.40
	60	0.71	12.92
	70	0.77	13.88
3	40	0.20	11.61
	50	0.32	11.68
	60	0.62	13.66
	70	0.72	13.13

ตารางที่ ง-17 ค่าการซึมผ่านของอุตสาหกรรมและน้ำผ่านเขื่อแผ่นเชิงประกลบแอลจีเนต/เซลล์โลไฟฟ์ที่ความดัน -450 มิลลิเมตรป্রอท

ความเข้มข้นของแอลจีเนตที่ใช้เคลือบ ที่ผิวน้ำของเซลล์โลไฟฟ์ (%โดยน้ำหนัก)	อุณหภูมิ (องศาเซลเซียส)	ค่าการซึมผ่านเขื่อแผ่นของ ເອທານອລ ( $\times 10^{-3}$ กรัม-เมตร/ตร.ม.-ชั่วโมง)	ค่าการซึมผ่านเขื่อแผ่น ของน้ำ ( $\times 10^{-3}$ กรัม-เมตร/ตร.ม.-ชั่วโมง)
1	40	1.89	14.35
	50	3.15	22.31
	60	5.23	27.55
	70	5.99	30.16
2	40	0.78	11.35
	50	0.59	13.60
	60	1.17	15.61
	70	1.41	16.65
3	40	0.23	13.25
	50	0.53	13.44
	60	1.08	13.57
	70	1.12	14.21

ตารางที่ ง-18 ค่าการซึมผ่านของอุกกาลและน้ำผ่านเยื่อแผ่นเชิงประดิษฐ์/เซลโลฟีนที่ความดัน -500 มิลลิเมตรปอร์ต

ความเข้มข้นของแอลจีเนทที่ใช้เคลือบ ที่ผิวน้ำของเซลโลฟีน (%โดยน้ำหนัก)	อุณหภูมิ (องศาเซลเซียส)	ค่าการซึมผ่านเยื่อแผ่นของ อุกกาล ( $\times 10^{-3}$ กรัม-เมตร/ตร.ม.-ชั่วโมง)	ค่าการซึมผ่านเยื่อแผ่น ของน้ำ ( $\times 10^{-3}$ กรัม-เมตร/ตร.ม.-ชั่วโมง)
1	40	-*	-*
	50	-*	-*
	60	-*	-*
	70	-*	-*
2	40	1.05	14.89
	50	2.02	16.76
	60	2.36	20.24
	70	2.78	20.34
3	40	0.38	16.18
	50	0.41	13.44
	60	1.18	17.41
	70	1.64	18.98

-\* เยื่อแผ่นฉีกขาดไม่สามารถวัดค่าได้

ตารางที่ ง-19 ค่าสัมประสิทธิ์การแพร่ของอุกกาลและน้ำผ่านเยื่อแผ่นเชิงประดิษฐ์/เซลโลฟีนที่ความดัน -300 มิลลิเมตรปอร์ต

ความเข้มข้นของแอลจีเนทที่ใช้เคลือบ ที่ผิวน้ำของเซลโลฟีน (%โดยน้ำหนัก)	อุณหภูมิ (องศาเซลเซียส)	สัมประสิทธิ์การแพร่ของ อุกกาล ( $\times 10^{-9}$ ตร.ม./ชั่วโมง)	สัมประสิทธิ์การแพร่ ของน้ำ ( $\times 10^{-7}$ ตร.ม./ชั่วโมง)
1	40	0.96	0.20
	50	0.82	0.35
	60	0.77	0.85
	70	1.14	1.32
2	40	0.24	0.15
	50	0.53	0.48
	60	0.51	0.69
	70	0.72	1.20
3	40	0.15	0.11
	50	0.35	0.77
	60	0.73	1.10
	70	0.87	0.89

ตารางที่ ง-20 ค่าสัมประสิทธิ์การแพร่ของอุกกาลและน้ำผ่านเยื่อแผ่นเชิงประกลบแอลจีเนต/เซลโลฟันที่ความดัน -350 มิลลิเมตรปอร์ท

ความเข้มข้นของแอลจีเนตที่ใช้เคลือบ ที่ผิวน้ำของเซลโลฟัน (%โดยน้ำหนัก)	อุณหภูมิ (องศาเซลเซียส)	สัมประสิทธิ์การแพร่ของ อุกกาล ( $\times 10^{-9}$ ตร.ม./ชั่วโมง)	สัมประสิทธิ์การแพร่ ของน้ำ ( $\times 10^{-7}$ ตร.ม./ชั่วโมง)
1	40	0.95	0.24
	50	0.80	0.50
	60	0.16	1.24
	70	1.13	1.73
2	40	0.25	0.11
	50	0.53	0.67
	60	0.35	1.31
	70	0.72	1.15
3	40	0.15	0.13
	50	0.35	0.68
	60	0.75	0.43
	70	0.87	1.29

ตารางที่ ง-21 ค่าสัมประสิทธิ์การแพร่ของอุกกาลและน้ำผ่านเยื่อแผ่นเชิงประกลบแอลจีเนต/เซลโลฟันที่ความดัน -400 มิลลิเมตรปอร์ท

ความเข้มข้นของแอลจีเนตที่ใช้เคลือบ ที่ผิวน้ำของเซลโลฟัน (%โดยน้ำหนัก)	อุณหภูมิ (องศาเซลเซียส)	สัมประสิทธิ์การแพร่ของ อุกกาล ( $\times 10^{-9}$ ตร.ม./ชั่วโมง)	สัมประสิทธิ์การแพร่ ของน้ำ ( $\times 10^{-7}$ ตร.ม./ชั่วโมง)
1	40	1.10	0.48
	50	1.09	0.94
	60	1.27	2.64
	70	1.71	2.69
2	40	0.44	0.07
	50	0.48	0.93
	60	0.99	6.03
	70	1.07	3.31
3	40	0.33	0.33
	50	0.49	0.98
	60	0.93	0.83
	70	1.04	1.37

ตารางที่ ง-22 ค่าสัมประสิทธิ์การแพร่ของอุกกาลและน้ำผ่านเยื่อแผ่นเชิงประกลบแอลจีเนต/เซลโลไฟฟ์ที่ความดัน -450 มิลลิเมตรปรอท

ความเข้มข้นของแอลจีเนตที่ใช้เคลือบ ที่ผิวน้ำของเซลโลไฟฟ์ (%โดยน้ำหนัก)	อุณหภูมิ (องศาเซลเซียส)	สัมประสิทธิ์การแพร่ของ อุกกาล ( $\times 10^{-9}$ ตร.ม./ชั่วโมง)	สัมประสิทธิ์การแพร่ ของน้ำ ( $\times 10^{-7}$ ตร.ม./ชั่วโมง)
1	40	3.90	0.16
	50	5.18	0.82
	60	7.51	2.39
	70	8.50	3.02
2	40	1.61	0.17
	50	0.87	4.89
	60	1.66	1.99
	70	1.96	3.67
3	40	0.39	0.23
	50	0.81	1.13
	60	1.62	0.94
	70	1.63	1.11

ตารางที่ ง-23 ค่าสัมประสิทธิ์การแพร่ของอุกกาลและน้ำผ่านเยื่อแผ่นเชิงประกลบแอลจีเนต/เซลโลไฟฟ์ที่ความดัน -500 มิลลิเมตรปรอท

ความเข้มข้นของแอลจีเนตที่ใช้เคลือบ ที่ผิวน้ำของเซลโลไฟฟ์ (%โดยน้ำหนัก)	อุณหภูมิ (องศาเซลเซียส)	สัมประสิทธิ์การแพร่ของ อุกกาล ( $\times 10^{-9}$ ตร.ม./ชั่วโมง)	สัมประสิทธิ์การแพร่ ของน้ำ ( $\times 10^{-7}$ ตร.ม./ชั่วโมง)
1	40	-*	-*
	50	-*	-*
	60	-*	-*
	70	-*	-*
2	40	2.13	0.35
	50	3.00	2.51
	60	3.33	3.54
	70	3.86	4.48
3	40	0.62	0.81
	50	0.62	1.40
	60	1.77	1.41
	70	2.37	2.22

-\* เยื่อแผ่นฉีกขาดไม่สามารถวัดค่าได้

ตารางที่ ง-24 ข้อมูลการทดลองการหาค่าดีกรีการพองตัวของเยื่อแผ่นเชิงประ同胞ออกเจนต/เซล โลไฟน์เมื่อยืดเยิ่อแผ่นในสารละลายนอกที่ความเข้มข้นต่างๆเป็นเวลา 5 วัน

ความเข้มข้นของอุตสาหกรรมที่ใช้เยื่อแผ่น (%โดยปริมาตร)	จำนวนตัวอย่าง	น้ำหนักของเยื่อแผ่นก่อนแช่ในอุตสาหกรรม (กรัม)	น้ำหนักของเยื่อแผ่นหลังแช่ในอุตสาหกรรม (กรัม)	ค่าดีกรีการพองตัวของเยื่อแผ่น (%)
95.0	1	1.6248	2.2297	37.23
	2	1.5782	2.1596	36.84
	3	1.5987	2.1702	35.75
	เฉลี่ย			36.61
96.0	1	1.3462	1.6418	21.96
	2	1.0170	1.2355	21.50
	3	1.1245	1.3603	20.97
	เฉลี่ย			21.48
97.0	1	1.3476	1.5960	18.43
	2	1.4207	1.6913	19.05
	3	1.3589	1.6274	19.76
	เฉลี่ย			19.08
98.0	1	1.3860	1.5793	13.95
	2	1.2597	1.4254	13.15
	3	1.3776	1.5747	14.31
	เฉลี่ย			13.80
99.7	1	1.4913	1.6877	13.17
	2	1.3476	1.5206	12.84
	3	1.3204	1.4888	12.75
	เฉลี่ย			12.92

คู่มือวิธีทดลอง  
จุฬาลงกรณ์มหาวิทยาลัย

ตารางที่ ง-25 ข้อมูลการทดลองการหาค่าฟลักซ์และค่าการเดือกของเชื้อแบนเจิงประกอบแอดจีเนต/เซลโลไฟน์ เมื่อนำเข้าผ่านไปเพชรในอุปกรณ์ที่ความเข้มข้นต่างๆเป็นเวลา 5 วัน

ความเข้มข้นของ อุปกรณ์ที่ใช้เชือผ่าน (% โอดปริมาตร)	น้ำหนัก เพอร์มิเอต (กรัม)	ความเข้มข้นของ อุปกรณ์ในสาร ป้อน (น้ำหนักฟัน้ำหนัก)	ความเข้มข้นของ อุปกรณ์ในเพอร์มิเอต (น้ำหนัก/น้ำหนัก)	ฟลักซ์ของ สารละลาย (กรัม/ตร.ม.-ชั่วโมง)	ค่าการเดือก ของเชือผ่าน
95.0	4.60	0.954	0.088	508.3	214
	3.89	0.961	0.084	328.9	269
เฉลี่ย				469.1	242
96.0	4.28	0.959	0.044	472.9	508
	2.42	0.962	0.028	267.40	888
เฉลี่ย				370.2	698
97.0	2.39	0.984	0.045	264.1	1304
	2.34	0.987	0.021	258.6	3368
เฉลี่ย				261.3	2336
98.0	2.60	0.967	0.028	287.3	1024
	2.62	0.967	0.011	289.50	2736
เฉลี่ย				288.40	1880
99.7	2.28	0.988	0.024	251.9	3315
	2.37	0.987	0.020	261.9	3656
เฉลี่ย				256.9	3486

ศูนย์วิทยทรัพยากร  
จุฬาลงกรณ์มหาวิทยาลัย

ตารางที่ ง-26 ข้อมูลการทดลองการหาค่าดีกรีการพองตัวของเยื่อแผ่นเชิงประจุลบเจล/เซลโลฟานเมื่อเก็บรักษาเยื่อแผ่นใน 99.7% เอทานอลที่เวลาต่างๆ

เวลาที่เก็บรักษา (วัน)	จำนวน ตัวอย่าง	น้ำหนักของเยื่อแผ่น <sup>ก่อนแช่ในเอทานอล (กรัม)</sup>	น้ำหนักของเยื่อแผ่น <sup>หลังแช่ในเอทานอล (กรัม)</sup>	ค่าดีกรีการพองตัวของ เยื่อแผ่น (%)
5	1	1.4913	1.6877	13.17
	2	1.3476	1.5206	12.84
	3	1.3204	1.4888	12.75
	เฉลี่ย			12.92
10	1	1.0324	1.1727	13.59
	2	1.1278	1.1426	13.16
	3	1.2496	1.4284	14.31
	เฉลี่ย			13.69
15	1	1.0357	1.2167	17.48
	2	1.2783	1.5076	17.94
	3	1.3254	1.549	16.87
	เฉลี่ย			17.43
20	1	1.2973	1.5602	21.65
	2	1.3424	1.6172	20.47
	3	1.2748	1.5459	21.27
	เฉลี่ย			21.13
25	1	1.5047	1.8809	25.00
	2	1.3378	1.6690	24.76
	3	1.3892	1.7382	25.12
	เฉลี่ย			24.96
30	1	1.3725	1.7729	29.17
	2	1.2493	1.6097	28.85
	3	1.2106	1.5646	29.24
	เฉลี่ย			29.09

ตารางที่ ง-27 ข้อมูลการทดลองการหาค่าฟลักซ์และค่าการเลือกของเยื่อแผ่นเชิงประจุลบเจลไนท์/เซล โคลเพน เมื่อนำเยื่อแผ่นมาเก็บรักษาใน 99.7% เอทานอลที่เวลาต่างๆ

เวลาที่ใช้เก็บรักษา เยื่อแผ่น (วัน)	น้ำหนัก เพอร์มิเอต (กรัม)	ความเข้มข้นของ เอทานอลในสาร ป้อน (น้ำหนัก/น้ำหนัก)	ความเข้มข้นของ เอทานอลในเพอร์มิเอต (น้ำหนัก/น้ำหนัก)	ฟลักซ์ของ สารละลาย (กรัม/ตร.ม.-ชั่วโมง)	ค่าการเลือก ของเยื่อแผ่น
5	2.28	0.988	0.024	251.9	3315
	2.37	0.987	0.020	261.9	3656
เฉลี่ย				256.9	3486
10	3.92	0.993	0.044	433.2	2902
	1.69	0.989	0.027	186.7	3227
เฉลี่ย				310.0	3064
15	3.56	0.979	0.024	393.4	1936
	2.19	0.982	0.020	240.2	2561
เฉลี่ย				316.8	2249
20	3.61	0.966	0.012	402.2	2280
	2.91	0.968	0.028	321.6	1064
เฉลี่ย				361.9	1672
25	6.07	0.987	0.058	670.7	1195
	3.77	0.988	0.049	416.6	1579
เฉลี่ย				543.7	1387
30	7.09	0.984	0.070	783.4	817
	6.04	0.982	0.078	667.40	633
เฉลี่ย				725.4	725

ตารางที่ ง-28 ข้อมูลการทดสอบการหาค่าฟลักซ์ของสารละลายน้ำและค่าการเลือกของเยื่อแผ่นเชิงประกลบแอลจีเนต/เซลโลไฟเบรน เมื่อแบ่งระยะเวลาในการทดสอบและความมีอายุของเยื่อแผ่น (รอบที่ 1)

ระยะเวลาที่ใช้ในการทดสอบ (ชั่วโมง)	น้ำหนักเพอร์เมอต (กรัม)	ความเข้มข้นของเอนไซม์ในสารป้อน (น้ำหนักน้ำหนัก)	ความเข้มข้นของเอนไซม์ในเพอร์เมอต (น้ำหนักน้ำหนัก)	ฟลักซ์ของสารละลายน้ำ (กรัม/ตร.น.-ชั่วโมง)	ค่าการเลือกของเยื่อแผ่น
2	3.52	0.980	0.016	972.4	3013
4	6.41	0.973	0.013	885.4	2734
6	8.83	0.966	0.015	813.1	1894
8	10.35	0.969	0.018	714.2	1734

ตารางที่ ง-29 ข้อมูลการทดสอบการหาค่าฟลักซ์ของสารละลายน้ำและค่าการเลือกของเยื่อแผ่นเชิงประกลบแอลจีเนต/เซลโลไฟเบรน เมื่อแบ่งระยะเวลาในการทดสอบและความมีอายุของเยื่อแผ่น (รอบที่ 2)

ระยะเวลาที่ใช้ในการทดสอบ (ชั่วโมง)	น้ำหนักเพอร์เมอต (กรัม)	ความเข้มข้นของเอนไซม์ในสารป้อน (น้ำหนักน้ำหนัก)	ความเข้มข้นของเอนไซม์ในเพอร์เมอต (น้ำหนักน้ำหนัก)	ฟลักซ์ของสารละลายน้ำ (กรัม/ตร.น.-ชั่วโมง)	ค่าการเลือกของเยื่อแผ่น
2	2.97	0.990	0.038	820.4	2572
4	4.77	0.989	0.037	658.8	2337
6	6.46	0.987	0.034	594.8	2103
8	7.96	0.982	0.031	549.7	1662

ตารางที่ ง-30 ข้อมูลการทดสอบการหาค่าฟลักซ์ของสารละลายน้ำและค่าการเลือกของเยื่อแผ่นเชิงประกลบแอลจีเนต/เซลโลไฟเบรน เมื่อแบ่งระยะเวลาในการทดสอบและความมีอายุของเยื่อแผ่น (รอบที่ 3)

ระยะเวลาที่ใช้ในการทดสอบ (ชั่วโมง)	น้ำหนักเพอร์เมอต (กรัม)	ความเข้มข้นของเอนไซม์ในสารป้อน (น้ำหนักน้ำหนัก)	ความเข้มข้นของเอนไซม์ในเพอร์เมอต (น้ำหนักน้ำหนัก)	ฟลักซ์ของสารละลายน้ำ (กรัม/ตร.น.-ชั่วโมง)	ค่าการเลือกของเยื่อแผ่น
2	2.36	0.987	0.025	649.2	2810
4	4.26	0.982	0.023	548.3	2280
6	4.30	0.976	0.024	396.0	1641
8	5.27	0.980	0.034	364.0	1373

ตารางที่ ง-31 ข้อมูลการทดลองการหาค่าฟลักซ์ของสารละลายและค่าการเลือกของเยื่อแผ่นเรืองประกรณ์แอลจีนต/เซลล์โลไฟฟ์นที่ผ่านการใช้งานแล้วและนำกลับมาใช้ใหม่

ระยะเวลาที่ใช้ในการ แข็งเยื่อแผ่น (ชั่วโมง)	น้ำหนัก เพอร์มิเอต (กรัม)	ความเข้มข้นของ ເອການອດໃນສາງ ป້ອນ (ນ້ຳໜັກ/ນ້ຳໜັກ)	ความเข้มข้นของ ເອການອດໃນເພອຣົມິເອ (ນ້ຳໜັກ/ນ້ຳໜັກ)	ฟลักซ์ของ สารละลาย (กรัม/ตร.ม.-ชั่วโมง)	ค่าการเลือก ของเยื่อแผ่น
24	6.05	0.974	0.032	334.3	1148
36	7.41	0.978	0.036	409.4	1189
72	8.30	0.980	0.048	458.6	972
96	9.01	0.980	0.054	497.5	866

ตารางที่ ง-32 ข้อมูลการทดลองการหาค่าฟลักซ์ของสารละลายและค่าการเลือกของเยื่อแผ่นเรืองประกรณ์แอลจีนต/เซลล์โลไฟฟ์นที่ผ่านการใช้ในกระบวนการเพอร์ແວເພອເຮັນແລະການ aging (ข้อมูลที่ได้เปรียบเทียบกับตารางที่ ง-34)

ระยะเวลาที่ใช้ในการ แข็งเยื่อแผ่น (ชั่วโมง)	น้ำหนัก เพอร์ມิเอต (กรัม)	ความเข้มข้นของ ເອການອດໃນສາງ ປ້ອນ (ນ້ຳໜັກ/ນ້ຳໜັກ)	ความเข้มข้นของ ເອການອດໃນເພອຣົມິເອ (ນ້ຳໜັກ/ນ້ຳໜັກ)	ฟลักซ์ของ สารละลาย (กรัม/ตร.ม.-ชั่วโมง)	ค่าการเลือก ของเยื่อแผ่น
24	5.54	0.982	0.039	306.1	1317
36	6.78	0.980	0.038	374.3	1240
72	5.93	0.985	0.041	327.3	1536
96	6.81	0.983	0.040	376.0	1388

ตารางที่ ง-33 ข้อมูลการทดลองการหาค่าฟลักซ์ของสารละลายและค่าการเลือกของเยื่อแผ่นเซลล์โลไฟฟ์นที่อุณหภูมิของสารป້ອນ 60 ດັກສາເຊລເຊີຍສ ແລະ ຄວາມດັນເພອຣົມິເອຕ -400 ມີຄລິມີຕຣ ແລະ เวลาທี่ใช้ในการทดลอง 5 ຊົ່ວໂມງ

ຈຳນວນຄັ້ງທີ່ກຳກັນ ທົດລອງຫຳ	ນ້ຳໜັກ ເພອຣົມິເອຕ (กรັມ)	ຄວາມເຂັ້ມຂັ້ນຂອງ ເອການອດໃນສາງ ປ້ອນ (ນ້ຳໜັກ/ນ້ຳໜັກ)	ຄວາມເຂັ້ມຂັ້ນຂອງ ເອການອດໃນເພອຣົມິເອ (ນ້ຳໜັກ/ນ້ຳໜັກ)	ຟັກສົ່ງຂອງ สารละลาย (กรັມ/ตร.ມ.-ຫຳໂມງ)	ຄ່າການເລືອກ ຂອງເຍື່ອແຜ່ນ
1	15.98	0.935	0.140	1765.7	89
2	16.77	0.928	0.149	1853.0	74
3	15.55	0.892	0.093	1718.2	81
4	15.35	0.943	0.115	1696.1	127

ตารางที่ ง-34 ข้อมูลการทดลองการหาค่าฟลักซ์ของสารละลายและค่าการเลือกของเยื่อแผ่นแอลจีนต/เซลโลฟัน ที่ความเข้มข้นแกลลูมิกินต 2 % โดยนำหนัก เมื่อวางในภาชนะขนาด 90 องศา อุณหภูมิของสารป้อน 60 องศาเซลเซียส, ความดันเพอร์เมอต -400 มิกโกรัมตรัปรกต ระยะเวลาที่ใช้ในการทดลอง 5 ชั่วโมง

จำนวนครั้งที่ทำการทดลอง	น้ำหนักเพอร์เมอต (กรัม)	ความเข้มข้นของเอทานอลในสารป้อน (น้ำหนัก/น้ำหนัก)	ความเข้มข้นของเอทานอลในเพอร์เมอต (น้ำหนัก/น้ำหนัก)	ฟลักซ์ของสารละลาย (กรัม/ตร.ม.-ชั่วโมง)	ค่าการเลือกของเยื่อแผ่น
1	2.85	0.994	0.051	314.9	3083
2	2.70	0.993	0.045	295.7	3053
3	3.07	0.994	0.057	339.2	2740
4	2.87	0.992	0.039	317.1	3055
5	2.75	0.992	0.041	303.9	2900
6	2.85	0.991	0.039	314.9	2713

ศูนย์วิทยทรัพยากร  
จุฬาลงกรณ์มหาวิทยาลัย

## ภาคผนวก จ

### ตัวอย่างการคำนวณ

#### 1. การหาดีกรีการพองตัวของเยื่อแผ่น

$$S.W. = \frac{(W_m - D_m)}{D_m} \quad 0$$

เมื่อ	$S.W.$	คือ	ดีกรีการพองตัวของเยื่อแผ่น
	$W_m$	คือ	น้ำหนักของเยื่อแผ่นหลังจากแช่สารละลาย
	$D_m$	คือ	น้ำหนักของเยื่อแผ่นก่อนแช่สารละลาย

จากตารางที่ ง-1 เยื่อแผ่นเชิงประดิษฐ์/เซลล์โลไฟฟ์โดยที่ความเข้มข้นแอลจินต์เท่ากับ 1% โดยน้ำหนักที่อุณหภูมิ 40 องศาเซลเซียส ความดัน -300 มิลลิเมตรปดาท

$$D_m = 1.18 \quad \text{กรัม}$$

$$W_m = 1.55 \quad \text{กรัม}$$

$$\text{จะได้ } S.W. = \frac{1.55 - 1.18}{1.18} = 0.3136$$

#### 2. การหาความเข้มข้นของเอทานอลและน้ำในเยื่อแผ่น

##### 2.1 ความเข้มข้นของเอทานอลในเยื่อแผ่น

$$x_{Em} = \frac{F_I x_{E1} - (F_I - (W_m - D_m)) x_{E2}}{D_m}$$

เมื่อ	$F_I$	คือ	น้ำหนักของสารละลาย
	$x_{E1}$	คือ	ความเข้มข้นของสารละลายเอทานอลก่อนแช่เยื่อแผ่น
	$x_{E2}$	คือ	ความเข้มข้นของสารละลายเอทานอลหลังแช่เยื่อแผ่น

จากตารางที่ ง-1 เยื่อแผ่นเชิงประดิษฐ์/เซลล์โลไฟฟ์โดยที่ความเข้มข้นแอลจินต์เท่ากับ 1% โดยน้ำหนักที่อุณหภูมิ 40 องศาเซลเซียส ความดัน -300 มิลลิเมตรปดาท

$F_I$	=	3.98	กรัม
$x_{E1}$	=	0.939	น้ำหนัก/น้ำหนัก
$x_{E2}$	=	0.972	น้ำหนัก/น้ำหนัก
$D_m$	=	1.18	กรัม
$W_m$	=	1.55	กรัม

จะได้  $x_{Em} = \frac{(3.98 \times 0.939) - (3.98 - (1.55 - 1.18)) \times 0.972}{1.18}$

$$x_{Em} = 0.1935$$

## 2.2 ความเข้มข้นของน้ำในเยื่อแผ่น

$$x_{wm} = S.W. - x_{Em}$$

เมื่อ  $x_{Em}$  คือ ความเข้มข้นของอุทกน้ำในเยื่อแผ่น

จากข้อ 1 และ 2.1 จะได้

$$\begin{aligned} x_{wm} &= 0.3136 - 0.1935 \\ &= 0.1201 \end{aligned}$$

## 3. สัมประสิทธิ์การกระจายของน้ำและอุทกน้ำในเยื่อแผ่น

### 3.1 สัมประสิทธิ์การกระจายของน้ำ

$$S_w = \frac{x_w^m}{(1-x_E^s)}$$

เมื่อ  $x_E^s$  คือ ความเข้มข้นของอุทกน้ำในสารละลาย

$x_w^m$  คือ ความเข้มข้นของน้ำในเยื่อแผ่น(กรัมน้ำ/กรัมสารละลาย)

$$x_w^m = \frac{x_{wm}}{x_{wm} + x_{Em}}$$

จากข้อ 2.1 และ 2.2 จะได้

$$x_w^m = \frac{0.1201}{0.1201+0.1935}$$

$$= 0.3830$$

จากตารางที่ ง-1 เยื่อแผ่นเชิงประดิษฐ์แบบอลูминัต/เซลโลฟีน โดยที่ความเข้มข้นของอลูมิเนียมเท่ากับ 1% โดยน้ำหนัก ที่อุณหภูมิ 40 องศาเซลเซียส ความดัน -300 มิลลิเมตรปรอท

$$x_E = 0.972 \text{ น้ำหนัก/น้ำหนัก}$$

$$S_w = \frac{0.3830}{(1-0.972)}$$

$$= 13.6786$$

### 3.2 สัมประสิทธิ์การกระจายของอุทกนลในเยื่อแผ่น

$$S_E = \frac{x_E^m}{x_E}$$

เมื่อ  $x_E^m$  คือ ความเข้มข้นของอุทกนลในเยื่อแผ่น(กรัมอุทกนล/กรัมสารละลาย)

$$x_E^m = \frac{x_{Em}}{x_{wm} + x_{Em}}$$

จากข้อ 2.1 และ 2.2 จะได้

$$x_E^m = \frac{0.1935}{0.1201+0.1935}$$

$$= 0.6170$$

เพราะจะนั่น

$$S_E = \frac{0.6170}{0.972}$$

$$= 0.6348$$

#### 4. เพอร์เวเพอเรชัน

##### 4.1 เพอร์มิเอชันฟลักซ์ของสารละลาย

$$J = \frac{W}{A \cdot t} \quad \text{กรัม/ตารางเมตร-ชั่วโมง}$$

เมื่อ	$W$	คือ	น้ำหนักเพอร์มิเอต
	$A$	คือ	พื้นที่ผิวเชื่อม
	$t$	คือ	เวลา

จากตารางที่ ง-7 เขื่อแผ่นเชิงประดุจแอลจีเนต/เซลโลฟัน โดยที่ความเข้มข้นแอลจีเนตเท่ากับ 1% โดยน้ำหนักที่อุณหภูมิ 40 องศาเซลเซียส ความดัน -300 มิลลิเมตรปerroh

$$\begin{aligned} W &= 2.23 \quad \text{กรัม} \\ A &= 18.1 \quad \text{ตารางเซนติเมตร} \quad (18.1 \times 10^4 \text{ ตารางเมตร}) \\ t &= 5 \quad \text{ชั่วโมง} \end{aligned}$$

$$\begin{aligned} \text{จะได้} \quad J &= \frac{2.23}{(18.1 \times 10^{-4})(5)} \\ &= 246.41 \quad \text{กรัม/ตารางเมตร-ชั่วโมง} \end{aligned}$$

##### 4.2 ฟลักซ์ของออกanol

$$J_E = y_E J \quad \text{กรัม/ตารางเมตร-ชั่วโมง}$$

เมื่อ	$y_E$	คือ	ความเข้มข้นของออกanol ในเพอร์มิเอต
-------	-------	-----	------------------------------------

จากตารางที่ ง-7 เขื่อแผ่นเชิงประดุจแอลจีเนต/เซลโลฟัน โดยที่ความเข้มข้นแอลจีเนตเท่ากับ 1% โดยน้ำหนักที่อุณหภูมิ 40 องศาเซลเซียส ความดัน -300 มิลลิเมตรปerroh

$$y_E = 0.055 \quad \text{น้ำหนัก/น้ำหนัก}$$

$$\begin{aligned} \text{จะได้} \quad J_E &= 0.055 \times 246.41 \\ &= 13.55 \quad \text{กรัม/ตารางเมตร-ชั่วโมง} \end{aligned}$$

### 4.3 พลักซ์ของนำ

$$J_w = J - J_E \quad \text{กรัม/ตารางเมตร-ชั่วโมง}$$

จากข้อ 4.2 จะได้

$$\begin{aligned} J_w &= 246.41 - 13.55 \\ &= 232.86 \quad \text{กรัม/ตารางเมตร-ชั่วโมง} \end{aligned}$$

### 5. ค่าการซึมผ่าน

#### 5.1 ค่าการซึมผ่านเยื่อแผ่นของนำ

$$P_w = J_w \cdot l$$

เมื่อ  $l$  คือ ความหนาของเยื่อแผ่น

จากตารางที่ ง-7 เยื่อแผ่นเชิงประดิษฐ์/เซลโลฟาน โดยที่ความเข้มข้นแอลจีนตเท่ากับ 1% โดยหนักที่อุณหภูมิ 40 องศาเซลเซียส ความดัน -300 มิลลิเมตรปอร์ท

$$\begin{aligned} J_w &= 232.86 \quad \text{กรัม/ตารางเมตร-ชั่วโมง} \\ l &= 35.4 \times 10^{-6} \quad \text{เมตร} \end{aligned}$$

จะได้

$$\begin{aligned} P_w &= (232.86)(35.4 \times 10^{-6}) \\ &= 8.2432 \times 10^{-3} \quad \text{กรัม-เมตร/ตารางเมตร-ชั่วโมง} \end{aligned}$$

#### 5.2 ค่าการซึมผ่านเยื่อแผ่นของ.ethanold

$$P_E = J_E \cdot l$$

$$= (13.55)(34.5 \times 10^{-6})$$

$$= 0.4798 \times 10^{-3} \text{ กรัม-เมตร/ตารางเมตร-ชั่วโมง}$$

## 6. สัมประสิทธิ์การแพร่

### 6.1 สัมประสิทธิ์การแพร่ของน้ำ

$$D_w = \frac{P_w}{S_w}$$

จากข้อ 3.1 และ 5.1 จะได้

$$\begin{aligned} D_w &= \frac{8.2432 \times 10^{-3}}{13.6786} \\ &= 0.6026 \times 10^{-3} \text{ กรัม-เมตร/ตารางเมตร-ชั่วโมง} \end{aligned}$$

เปลี่ยนหน่วยให้อยู่ในรูปของตารางเมตร/ชั่วโมง โดยหารด้วยความเข้มข้นของน้ำในตารางที่ ง-7 ความเข้มข้นของอุทานอลในสารป้อนที่อุณหภูมิ 40 องศาเซลเซียส และความดันเพอร์เมต -300 มิลลิเมตรปรอท ความเข้มข้นและจีนต์ที่ใช้คือ 1% โดยนำหนัก เท่ากับ 0.969 น้ำหนักโดยอนึ่น้ำหนัก

$$D_w = \frac{(0.6026 \times 10^{-3})(10^{-6})}{(1-0.969)(0.995)}$$

$$= 0.1954 \times 10^{-7} \text{ ตารางเมตร/ชั่วโมง}$$

### 6.2 สัมประสิทธิ์การแพร่ของอุทานอล

$$D_E = \frac{P_E}{S_E}$$

จากข้อ 3.2 และ 5.2 จะได้

$$D_E = \frac{0.4798 \times 10^{-3}}{0.6348}$$

$$= 0.7558 \times 10^{-3} \text{ กรัม-เมตร/ตารางเมตร-ชั่วโมง}$$

เปลี่ยนหน่วยให้อยู่ในรูปของตารางเมตร/ชั่วโมง โดยหารด้วยความเข้มข้นของอุทานอลในตารางที่ ง-7 ความเข้มข้นของอุทานอลในสารป้อนที่อุณหภูมิ 40 องศาเซลเซียส และความดันเพอร์มิเอต  $-300$  มิลลิเมตรปีรอก ความเข้มข้นแอลจีนต์ที่ใช้คือ  $1\%$  โดยน้ำหนักเท่ากับ  $0.969$  น้ำหนักโดยน้ำหนัก

$$D_E = \frac{(0.7558 \times 10^{-3})(10^{-6})}{(0.969)(0.81)}$$

$$= 0.9630 \times 10^{-9} \text{ ตารางเมตร/ชั่วโมง}$$

#### 7. ค่าการเลือก

$$\alpha = \frac{y_w y_E}{x_w x_E} = \frac{(1-y_E)/y_E}{(1-x_E)/x_E}$$

เมื่อ  $y_E, x_E$  คือ ความเข้มข้นของอุทานอลในเพอร์มิเอตและรีเทนเทรตตามลำดับ

จากตารางที่ ง-7 เข้อแผ่นเชิงประกอบแอลจีนต์/เซลโลฟาน โดยที่ความเข้มข้นแอลจีนต์เท่ากับ  $1\%$  โดยน้ำหนักที่อุณหภูมิ  $40$  องศาเซลเซียส ความดัน  $-300$  มิลลิเมตรปีรอก

$$\begin{aligned} y_E &= 0.055 & \text{น้ำหนัก/น้ำหนัก} \\ x_E &= 0.969 & \text{น้ำหนัก/น้ำหนัก} \end{aligned}$$

$$\text{จะได้ } \alpha = \frac{(1-0.055)/0.055}{(1-0.969)/0.969}$$

$$= 537$$

ภาคนวัก ๙

CERTIFICATE OF ANALYSIS

Type : PT-300 (Cellophane Paper)

Non-moistureproof, Non-heatsealing

Article	Unit	Standard	Measurement	Method
Weight	g/m <sup>2</sup>	28.2-32.8	30.0	JIS-Z-1521
Thickness	mm	over 0.018	0.020	JIS-Z-1521
Tensile Strength M.D.	kg/15mm	over 2.2	3.5	JIS-Z-1521
Y.D.	kg/15mm	over 1.2	2.0	JIS-Z-1521
Elongation M.D.	%	over 10	27.3	JIS-Z-1521
T.D.	%	over 20	51.9	JIS-Z-1521
Moisture	%	7.5-8.5	8.0	Company Standard
Reel length	m	4000	4000	-----

Condition : JIS-Z-1521-1974

20°C, 65% RH

leave it for 8 hour

JIS = Japanese Industrial Standard

M.D. = Machine direction

T.D. = Traverse direction

แหล่งข้อมูล : Strongpack company

### ประวัติผู้เขียนวิทยานิพนธ์

นางสาวณัฐพิพิช โล่ห์สถาพรพิพิช เกิดวันที่ 26 มิถุนายน พ.ศ. 2520 ที่แขวงบางนา กรุงเทพมหานคร สำเร็จการศึกษาปริญญาตรีวิทยาศาสตรบัณฑิต (เทคโนโลยีทางอาหาร) คณะวิทยาศาสตร์ จุฬาลงกรณ์มหาวิทยาลัย ในปีการศึกษา 2540 และได้เข้าศึกษาต่อในหลักสูตร วิทยาศาสตรบัณฑิต หลักสูตรเทคโนโลยีทางชีวภาพ คณะวิทยาศาสตร์ จุฬาลงกรณ์ มหาวิทยาลัย ในปีการศึกษา 2541

